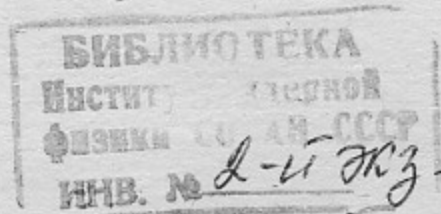


Б.75  
ИЯФ

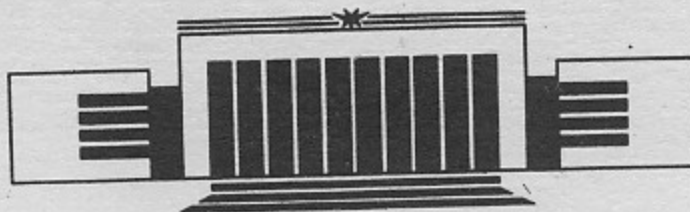
ИНСТИТУТ ЯДЕРНОЙ ФИЗИКИ СО АН СССР

П.В. Воробьев, Я.И. Гитарц

ОГРАНИЧЕНИЕ НА КОНСТАНТУ  
АРИОННОГО ВЗАИМОДЕЙСТВИЯ



ПРЕПРИНТ 87-138



НОВОСИБИРСК

Ограничение на константу  
арионного взаимодействия

П.В. Воробьев, Я.И. Гитарц\*

Институт ядерной физики  
630090, Новосибирск 90, СССР

А Н Н О Т А Ц И Я

Приведены результаты эксперимента по поиску дальнодействующего квазимагнитного взаимодействия электронов, связанного с обменом безмассовым псевдоскалярным голдстоуновским бозоном (арионом). Получено ограничение на константу арионного взаимодействия  $G_a$ :  $G_a < 10^{-3} G_F$ ,  $G_F$  — константа Ферми.

\* СНИИГГиМС, Новосибирск.

В этой статье приводятся некоторые результаты экспериментов по поиску нового дальнодействующего спин-спинового взаимодействия фермионов, связанного с обменом безмассовым (или очень легким) псевдоскалярным голдстоуновским бозоном — арионом. Взаимодействие такого типа естественным образом возникает в калибровочных теориях при спонтанном нарушении некоторой глобальной симметрии. Теория ариона предложена и детально обсуждалась Ансельмом [1]. Аналогичное взаимодействие возникает в некоторых теориях супергравитации [2], теориях гравитации с динамическим полем кручения [3] модели нарушенной полной относительности [4] и так далее. Однако, константа взаимодействия в этих теориях как правило не фиксирована и нуждается в экспериментальном определении.

Для безмассового ариона взаимодействие двух фермионов имеет вид:

$$V(r) = \frac{G_a}{r^3} [\bar{\sigma}_1 \cdot \bar{\sigma}_2 - 3(\bar{\sigma}_1 \cdot \bar{n}) \cdot (\bar{\sigma}_2 \cdot \bar{n})].$$

Здесь  $G_a$  — константа взаимодействия;  $\sigma$  — спиновые матрицы;  $\bar{n} = \bar{r}/|r|$ . Очевидно, арионное взаимодействие фермионов подобно очень слабому диполь-дипольному магнитному взаимодействию, но связано со спином фермионов, а не с их магнитным моментом. Арионное взаимодействие фермионов характеризуется «арионным магнетоном» [1]:

$$\mu_a = \left( \frac{G_a}{8\pi\sqrt{2}} \right)^{1/2} = \kappa \left( \frac{G_F}{8\pi\sqrt{2}} \right)^{1/2}$$

или

$$\mu_a = \kappa \cdot 0.69 \cdot 10^{-5} \mu_B.$$

Здесь  $G_a$  — константа арионного взаимодействия;  $G_F$  — константа Ферми;  $\mu_B$  — магнетон Бора;  $\kappa^2 = G_a/G_F$ . Арионное поле, в отличие от магнитного, не экранируется вихревыми токами в проводящих экранах, поэтому использование сверхпроводящих магнитных экранов позволяет эффективно отделить арионное поле от магнитного.

Существуют следующие ограничения на константу арионного взаимодействия:

для взаимодействия электрон-кварк [5] —  $G_a < 10^{-2} G_F$ ;

для взаимодействия электрон-мюон [1, 3] —  $G_a < 10 G_F$ ;

для взаимодействия электрон-электрон [6] —  $G_a < 10 G_F$ .

Проявление арионных сил естественно искать во взаимодействии двух ферромагнитных тел, разделенных сверхпроводящим экраном. При изменении намагниченности одного из них должна меняться намагниченность другого, а также сила взаимодействия между ними [7]. Так в детекторе группы Ньюмена измеряется момент силы действующей на намагниченный ферромагнетик при изменении намагниченности ферромагнетика, расположенного за сверхпроводящим экраном [6]. Торсионные весы позволяют получить чувствительность  $\delta F/F \sim 10^{-14}$ , что соответствует  $G_a < 10^{-3} G_F$ . Однако, в экспериментах такого типа серьезную проблему представляет сейсмический фон. Достигнутая чувствительность соответствует  $G_a < 10 G_F$ .

В нашем эксперименте использована другая методика [7]. Мы измеряли намагниченность ферромагнитного образца, заключенного в сверхпроводящий экран, в зависимости от направления намагниченности массивного ферромагнетика, расположенного вне экрана. Детектор — зонд из пермаллоя 78НД2М размером  $10 \times 1 \times 2$  мм помещен в трехслойный свинцовый сверхпроводящий магнитный экран диаметром 20 мм и длиной 150 мм. Намагниченность зонда измеряется сквид-магнитометром «криом-1М» с чувствительностью по магнитному потоку  $\Phi \sim 10^{-4} \Phi_0 \text{ Гц}^{-1/2}$  ( $\Phi_0 = 2 \cdot 10^{-7} \text{ Э} \cdot \text{см}^2$  — квант потока). Эффективная магнитная восприимчивость зонда  $\mu_F$  была измерена. В полях соответствующих  $1 \div 10^3 \Phi_0$  — квантов потока в объеме детектора  $\mu_F > 10$ . Для материала, магнитная проницаемость которого очень высока ( $\mu_0$  пермаллоя  $> 10000$ ), проницаемость формы можно оценить следующим образом:

$$\mu_F \simeq \pi L^2 / \left( 4S \left( \ln \frac{L}{R} - 1 \right) \right).$$

Здесь:  $L$  — длина зонда,  $S$  — его сечение,  $R$  — радиус. Для нашего зонда это дает  $\mu_F = 20 \div 25$ . Для контроля и калибровки системы имеется небольшой соленоид, создающий слабое магнитное поле в месте расположения зонда. Сверхпроводящий экран с зондом и СКВИДом размещен в стеклянном безазотном криостате. Наружный диаметр криостата в месте расположения зонда 70 мм. Нижняя часть криостата, где собственно и расположен зонд, введена в межполюсной зазор постоянного магнита, вращающегося вокруг вертикальной оси. Магнит создает вращающееся магнитное поле  $B_0 = 300 \text{ Э}$  в точке расположения зонда. Скорость вращения магнита около десяти оборотов в минуту. Магнит и привод его вращения акустически развязаны от криостата посредством резиновых амортизаторов. Поле магнита в области размещения зонда контролируется датчиком Холла.

Сигналы СКВИДа и датчика Холла оцифровываются двумя АЦП, стробируемыми системой фотопривязки к углу поворота магнита. Привязка к углу позволяет не заботиться о стабильности скорости вращения магнита. Вся система контролируется и управляется микро-ЭВМ. Производится фурье-анализ сигнала СКВИДа и датчика Холла. Выделяется фурье-компоненты намагниченности зонда на частоте вращения внешнего магнита, где ожидается эффект. Остальные гармоники фурье-разложения используются для оценки шумов и контроля. Гистограммы распределения первой гармоники по углам и квадрату амплитуды хорошо согласуются с предположением о случайности сигнала с зонда и независимости его от поля внешнего магнита. Отношение сигнал/шум, полученное с помощью спектральных оценок, также говорит о случайном характере сигнала СКВИДа.

Было выполнено около двухсот циклов измерений. Суммарное время набора статистики около 15 часов.

Получено ограничение:  $B_* / B_0 < 5 \cdot 10^{-14}$ . Здесь:  $B_0$  — поле внешнего магнита,  $B_*$  — поле, измеряемое зондом внутри сверхпроводящего магнитного экрана. На уровне достоверности 95% это соответствует ограничению на константу взаимодействия:

$$G_a < 10^{-3} G_F,$$

что более чем на три порядка лучше, чем существующие ограничения.

ния для взаимодействия лептонов [6] и примерно на порядок лучше, чем результат, приведенный в работе [5] для взаимодействия  $e-q$ .

Достигнутая чувствительность близка к предельной для этой методики. Гораздо более сильное ограничение на константу псевдоскалярного взаимодействия можно получить из поиска осцилляций арион-фотон в поперечном магнитном поле [8]. В настоящее время такой эксперимент подготавливается в ИЯФ.

Ограничение, полученное нами на псевдоскалярное дальнодействующее взаимодействие, в комбинации с ограничением на скалярную (юкавскую) компоненту гравитации [9] дает также лучшее ограничение на Т-неинвариантное скаляр-псевдоскалярное взаимодействие фермионов, обсуждавшееся в работе [10]:

$$G_{s-ps} < 10^{20} G_F; \quad \text{для } \lambda > 5 \text{ см.}$$

Авторы благодарны А.А. Ансельму, Л.М. Баркову, М.С. Золотореву, И.Б. Хрипловичу за многочисленные обсуждения и поддержку. Мы также благодарны Р.Д. Ньюмену, приславшему копию его отчета NSF.

П.В. Воробьев, Я.И. Гитарц.

**Ограничение на константу  
арионного взаимодействия**

**ЛИТЕРАТУРА**

1. *Anselm A.A.* Preprint CERN-TH. 4349/86.  
*Anselm A.A., Ural'tsev N.G.* Phys. Lett. 1982 v.116B p.161.
2. Сборник «геометрические идеи в физике»/под редакцией Ю.И. Манина. М.: МИР, 1983.
3. *Hayashi K., Shiraishi T.* Phys. Rev. D 1978, v.19, p.3524
4. *Андреев А.Ф.* Письма в ЖЭТФ 1982, т.36, с.82
5. *Александров Е.Б., Ансельм А.А., Павлов Ю.В., Умарходжаев Р.М.*, ЖЭТФ 1983, т.85, с.1899.  
*Ансельм А.А., Неронов Ю.* ЖЭТФ 1985, т.88, с.1946.
6. *Newman R.D.* Project Summary NSF, 1986.
7. *Воробьев П.В.* Препринт ИЯФ 83-161. Новосибирск, 1983.
8. *Anselm A.A.* Preprint FERMILAB—PUB 87/45-T.  
Ансельм А.А. ЯФ 1985, т.42, с.1480.
9. *Hoskins J.K., Newman R.D., Spero R., Schultz J.*, Phys. Rev. D, 1985, v.32, p.3084.
10. *Moody J.E., Wilczek F.*, Phys. Rev. D 1984, v.30, p.130

Ответственный за выпуск С.Г.Попов

Работа поступила 30 сентября 1987 г.  
Подписано в печать 13.10. 1987 г. МН 08410  
Формат бумаги 60×90 1/16 Объем 0,7 печ.л., 0,6 уч.-изд.л.  
Тираж 180 экз. Бесплатно. Заказ № 138

Набрано в автоматизированной системе на базе фотонаборного автомата FA1000 и ЭВМ «Электроника» и отпечатано на ротапринте Института ядерной физики СО АН СССР,  
Новосибирск, 630090, пр. академика Лаврентьева, 11.